

СПИСОК ЛИТЕРАТУРЫ

- [1] Минакова И. И., Назаров В. И., Панов В. И. Деп. ВИНТИ № 1805—82. М., 1982. [2] Панов В. И., Станков П. Р. // Радиотехн. и электроника. 1986. 31, № 1. С. 213—216. [3] Абрамов А. А., Царянкин Д. П. // Стабилизация частоты и прецизионная радиотехника (ВИМИ). М., 1983. Ч. 1. С. 28—32. [4] Зубиетов П. И., Минакова И. И., Минина Г. П., Панов В. И. // Изв. вузов, сер. Радиотехника. 1981. 24, № 7. С. 29—33. [5] Лебединский С. А., Минакова И. И., Назаров В. И. // Радиотехн. и электроника. 1985. 3, № 1. С. 94—101.

Поступила в редакцию  
17.03.86

ВЕСТН. МОСК. УН-ТА. СЕР. 3, ФИЗИКА. АСТРОНОМИЯ. 1986. Т. 27, № 6

ФИЗИКА ТВЕРДОГО ТЕЛА

УДК 539.26:548.53

УЧЕТ ИСКАЖЕНИЙ КРИСТАЛЛИЧЕСКОЙ СТРУКТУРЫ ВБЛИЗИ ПОВЕРХНОСТИ В ТЕОРИИ СКОЛЬЗЯЩЕЙ РЕНТГЕНОВСКОЙ ДИФРАКЦИИ

М. А. Андреева

(кафедра физики твердого тела)

Дифракция в скользящей геометрии — новый метод исследования нарушений в тонких поверхностных слоях кристаллов [1]. Теория скользящей дифракции развита только для простейших случаев идеального кристалла и идеального кристалла с аморфной или кристаллической пленкой. Развита в настоящей работе теория позволяет рассматривать произвольные профили изменения параметров среды вблизи поверхности.

В [2] получена система линейных дифференциальных уравнений для тангенциальных компонент электрического и магнитного полей Блоховских волн, являющаяся обобщением уравнений Такаги на случай дифракции в условиях полного отражения:

$$\frac{d}{dz} \begin{pmatrix} \mathbf{H}_{1t} \\ [qE_1] \\ \mathbf{H}_{2t} \\ [qE_2] \end{pmatrix} = ik \begin{pmatrix} -n_1 I & (1+\chi_0)I - \mathbf{b}_1 \cdot \mathbf{b}_1 & 0 & \chi_h^I \\ I - \mathbf{a}_1 \cdot \mathbf{a}_1 (1-\chi_0) & -n_1 I & \chi_h^I \cdot \mathbf{a}_1 \cdot \mathbf{a}_2 & 0 \\ 0 & \chi_h I & -n_2 I & (1+\chi_0)I - \mathbf{b}_2 \cdot \mathbf{b}_2 \\ \chi_h \mathbf{a}_2 \cdot \mathbf{a}_1 & 0 & I - \mathbf{a}_2 \cdot \mathbf{a}_2 (1-\chi_0) & -n_2 I \end{pmatrix} \times \begin{pmatrix} \mathbf{H}_{1t} \\ [qE_1] \\ \mathbf{H}_{2t} \\ [qE_2] \end{pmatrix} \quad (1)$$

где  $\mathbf{q}$  — единичный вектор нормали к поверхности (оси  $z$ ),  $\mathbf{H}_{it} = I\mathbf{H}$ ,  $I = 1 - \mathbf{q} \cdot \mathbf{q}$ ; индексы 1, 2 относятся к проходящей и дифрагированной волнам соответственно;  $\chi_{0,h}$  — фурье-компоненты восприимчивости;  $\mathbf{b}_{1,2}$  — тангенциальные компоненты волновых векторов (в единицах  $\omega/c$ );  $\mathbf{a}_i = [\mathbf{b}_i, \mathbf{q}]$ ;  $n_1 = \sin \theta_1$ ,  $\theta_1$  — угол скольжения падающей волны,  $n_2 = \sin \theta_1 + (\boldsymbol{\tau} \cdot \mathbf{q})$ ,  $\boldsymbol{\tau}$  — вектор обратной решетки (в единицах  $\omega/c$ ). Точка между векторами в (1) обозначает их внешнее произведение (диадзу).

Система из восьми дифференциальных уравнений (1) описывает как взаимодействие проходящей и дифрагированной волн, так и преобразование поляризации. Разделение собственных поляризаций в (1) возможно непосредственно, только когда падающая, зеркально отраженная и дифрагированные волны лежат в одной плоскости. При дифракции в скользящей геометрии собственные поляризации граничной и дифракционной задач не совпадают; однако эффект «защелкивания» ортогональной поляризации мал [3], поэтому для случая скользящей дифракции имеет смысл «расцепить» в системе (1)  $\pi$ - и  $\sigma$ -поляризации приближенно. Пренебрегая для собственных векторов  $\mathbf{H}_{it}$  и  $[qE_i]$  проекциями  $\mathbf{b}_i$  в случае  $\sigma$ -поляризации (а в случае  $\pi$ -поляри-

зации проекциями на  $a_i$  и расписывая (1) в базисе  $a_i, b_i$  ( $i=1$  для первых четырех строк и столбцов,  $i=2$  для остальных), получаем для  $\sigma$ -поляризации приближенную систему четырех уравнений:

$$\frac{d}{dz} \begin{pmatrix} |H_{1f}| \\ |[qE_1]| \\ |H_{2f}| \\ |[qE_2]| \end{pmatrix} = ik \begin{pmatrix} -n_1 & 1 & 0 & 0 \\ 1-b_1^2+\chi_0 & -n_1 & \chi_{\bar{h}} & 0 \\ 0 & 0 & -n_2 & 1 \\ \chi_h & 0 & 1-b_2^2+\chi_0 & -n_2 \end{pmatrix} \begin{pmatrix} |H_{1f}| \\ |[qE_1]| \\ |H_{2f}| \\ |[qE_2]| \end{pmatrix} \quad (2)$$

Аналогичную систему получаем для  $\pi$ -поляризации (с заменой  $\chi_{h,\bar{h}}$  на  $\chi_{h,\bar{h}} \cos 2\theta_B$ , где  $\theta_B$  — угол Брэгга, и  $H \leftrightarrow E$ , причем вторая замена несущественна для конечного результата).

Для решения граничной задачи в случае полубесконечного кристалла с нарушенным поверхностным слоем необходимо ввести связь между амплитудами поля проходящей и дифрагированной волн в идеальной части кристалла:

$$\begin{pmatrix} |H_{2f}| \\ |[qE_2]| \end{pmatrix} = X \begin{pmatrix} |H_{1f}| \\ |[qE_1]| \end{pmatrix} \quad (3)$$

Матрицу связи  $X$  несложно найти, переходя к собственным волнам:

$$X = \frac{1}{\xi^{(1)} - \xi^{(2)}} \times \begin{pmatrix} (\xi^{(1)} + n_1)x^{(2)} - (\xi^{(2)} + n_1)x^{(1)} & x^{(1)} - x^{(2)} \\ (\xi^{(1)} + n_1)(\xi^{(2)} + n_2)x^{(2)} - (\xi^{(2)} + n_1)(\xi^{(1)} + n_2)x^{(1)} & (\xi^{(1)} + n_2)x^{(1)} - (\xi^{(2)} + n_2)x^{(2)} \end{pmatrix} \quad (4)$$

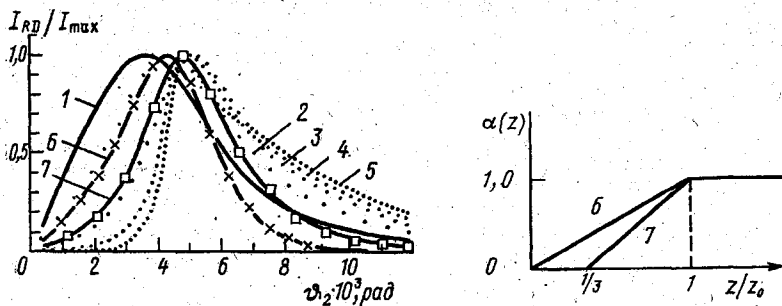
где  $\xi^{(1,2)}$  — собственные значения матрицы распространения, соответствующие двум проходящим собственным волнам,  $x^{(i)}$  — дифракционное отношение:

$$x^{(i)} = -(1 - (k^{(i)}/k)^2 + \chi_0) / \chi_{\bar{h}}, \quad i = 1, 2.$$

Формальное решение задачи может быть представлено в виде

$$\begin{pmatrix} H_R \\ H_{RD} \end{pmatrix} = \left[ \begin{pmatrix} -1 & 0 \\ \sin \theta_1 & 0 \end{pmatrix} + (l_1 + l_2 X)(l_3 + l_4 X)^{-1} \begin{pmatrix} 0 & 1 \\ 0 & -\sin \theta_2 \end{pmatrix} \right]^{-1} \begin{pmatrix} 1 \\ \sin \theta_1 \end{pmatrix} H_0, \quad (5)$$

где  $\begin{pmatrix} l_1 & l_2 \\ l_3 & l_4 \end{pmatrix} = L^{-1}(z_0)$  — мультипликативный интеграл, определяющий решение (2) в нарушенной части кристалла ( $l_1, l_2, l_3, l_4$  —  $2 \times 2$  блоки матрицы  $L^{-1}$ ),  $H_0, H_R$  и



Нормированные дифференциальные кривые рентгеновской дифракции в условиях полного отражения (РД ПВО) для идеального кристалла (1), кристалла с аморфной пленкой толщиной 50 (2), 100 (3), 150 (4), 200 Å (5) и для двух моделей постепенного изменения  $\chi_{h\bar{h}}$  в поверхностном слое ( $z_0=150$  Å), схематически изображенных справа (6 и 7);  $\theta_1=0,004$  рад

\* Для сокращения времени счета мультипликативного интеграла имеет смысл использовать формулу «интегрирования по частям» [4].

$H_{RD}$  — амплитуды падающей, зеркально отраженной и зеркальной дифрагированной волн соответственно;  $\theta_2$  — угол выхода зеркальной дифрагированной волны ( $\sin \theta_2 = \sqrt{1 - b_2^2}$ ). Интенсивность зеркальной дифрагированной волны равна  $I_{RD} = |H_{RD}|^2 \sin \theta_2 / \sin \theta_1$ .

При проведении конкретных расчетов, результаты которых представлены на рисунке (рассматривалось (2 2 0) отражение Си К $\alpha$ -излучения от кремния), для простоты полагалось  $\chi_0(z) = \text{const}$ ,  $\chi_{h,\bar{h}}(z) = \alpha(z)\chi_{h,\bar{h}}$ , где действительный коэффициент изменяется от 0 до 1 в нарушенном слое («степень аморфизации»). Наличие переходного слоя между идеальной частью кристалла и аморфной пленкой приводит к сдвигу кривой скользящей дифракции в область меньших углов выхода и ее сужению.

В заключение автор выражает благодарность Я. А. Сорникову за помощь в проведении расчетов и С. А. Степанову за полезное обсуждение проблемы.

## СПИСОК ЛИТЕРАТУРЫ

[1] Андреева М. А., Борисова С. Ф., Степанов С. А. // Поверхность. 1985. № 4. С. 5—26. [2] Andreeva M. A., Rošete C., Kharachev Yu. P. // Phys. Stat. Sol. (a). 1985. 88. P. 455—462. [3] Андреева М. А., Борисова С. Ф. // Кристаллография. 1985. 30, № 5. С. 849—856. [4] Андреева М. А., Сорников Я. А., Хапачев Ю. П. // Тез. докл. III Всесоюз. совещ. «Когерентное взаимодействие излучения с веществом» (17—19 сент. 1985 г., г. Ужгород). М., 1985. С. 86—87.

Поступила в редакцию  
07.02.86

ВЕСТН. МОСК. УН-ТА. СЕР. 3. ФИЗИКА. АСТРОНОМИЯ. 1986. Т. 27, № 6

УДК 621.315.592

## О НЕКОТОРЫХ ОСОБЕННОСТЯХ ЗАРЯДОВЫХ СОСТОЯНИИ КИСЛОРОДА В ВЫСОКООМНОМ АРСЕНИДЕ ГАЛЛИЯ

В. А. Морозова, В. В. Остробородова

(кафедра физики полупроводников)

Электронные параметры высокоомного GaAs часто определяют донорные (Д) уровни атомов кислорода, расположенных в узлах As( $O_{As}$ ), или атомов As в узлах Ga( $As_{Ga}$ , центры  $EL2$ ), отстоящие от зоны проводимости ( $c$ ), по данным различных работ, на  $\mathcal{E}_{Dc} \approx 0,63—0,83$  эВ [1—6]. Для правильной идентификации центров необходимо знать отличительные особенности уровней. Обычно в литературе сообщается об исследовании  $n$ -GaAs( $O$ ) с темновыми удельными сопротивлениями при 300 К  $\rho = 10^6—10^8$  Ом·см; при этом, как правило, рассматриваются переходы электронов с  $O^0$ -центров в  $c$ -зону. Сведения о фотоионизации дырок в валентную ( $v$ ) зону с  $O^+$ -центров немногочисленны [3]; именно с этими переходами мы связывали оптическое поглощение (ОП) высокоомного  $p$ -GaAs(Cr), когда высказывали гипотезу о том, что в области  $h\nu > 0,75$  эВ оно определяется не хромом, а всегда присутствующими в таком материале атомами  $O^+$  [7]. С целью проверки этой гипотезы, а также для определения энергии ионизации и температурного смещения Д-уровня О мы предприняли сравнительные исследования темновых и фотохолловских параметров, ОП, фотопроводимости (ФП) образцов GaAs( $O$ ) с разным заполнением Д-уровня электронами. Предельно высокоомные (ПВ) образцы после исключения поверхностной проводимости имели  $\rho \approx 2 \cdot 10^9$  Ом·см и эффективную энергию ионизации в области 290—500 К  $\mathcal{E}_{Dc}^0 \approx 0,70—0,75$  эВ; при этом постоянная Холла  $R$  для  $T \geq 370$  К превышала собственную  $R_i$ , т. е. была  $np$ -биполярна. Остальные образцы имели  $\rho$  от  $10^4$  («низкоомные», Н) до  $10^8$  («высокоомные», В) Ом·см,  $R < R_i$  и  $\mathcal{E}_{Dc}^0 = 0,8$  эВ [2].

У ПВ- и В-образцов с изменением интенсивности  $I = 10^{13}—10^{15}$  см $^{-2}$ ·с $^{-1}$  собственного либо примесного с  $h\nu = 1,1$  эВ освещения величины  $R$  дважды меняли знак, и проводимость в интервале изменения  $\rho$ ,  $\rho^* \approx 5 \cdot 10^7—5 \cdot 10^4$  Ом·см определялась дырками с эффективной холловской подвижностью  $\mu_p^* \leq 400$  см $^2$ /(В·с) (спектры ОП и ФП записаны в этих условиях). В образцах с  $\rho < 10^6$  Ом·см ФП при освещении всегда остается электронной [8].